



中国科学院
CHINESE ACADEMY OF SCIENCES



SCNT

南方核科学理论研究中心
Southern Center for Nuclear-Science Theory



“2026年轻强子专题研讨会”

超子非轻衰变的理论研究进展

曹叶

Based on arXiv: 2512.10346 and 2601.22670

In collaboration with prof. Qiang Zhao (赵强), Prof. Jujun Xie (谢聚军),
Mingxiao Duan (段鸣晓) and Tao Zhong (钟涛)

2026-05-17
河南商丘

Outline

□ 八重态超子 Λ 和 Σ^\pm 的两体非轻衰变的研究

arXiv: [2512.10346](https://arxiv.org/abs/2512.10346)

□ 十重态超子 Ω 的两体非轻衰变的研究

arXiv: [2601.22670](https://arxiv.org/abs/2601.22670)

研究背景与意义:

□ 超子弱衰变是研究强相互作用和弱相互作用的重要工具。

(处于低能区, 包含丰富的非微扰QCD效应)

□ 超子弱衰变是探索CP破坏的重要场所。

□ 近年来BESIII收集了超过10亿的J/psi事例, 它们衰变产生了大量超子对, 这为研究超子物理提供了实验支持 (尤其是对不对称参数 α 的测量)。

对超子 Λ 和 Σ^\pm 的两体强子弱衰变的研究

$\Lambda/\Sigma^\pm \rightarrow N\pi$ 已经积累了丰富的实验数据。

$\Lambda \rightarrow p\pi^-/n\pi^0$:

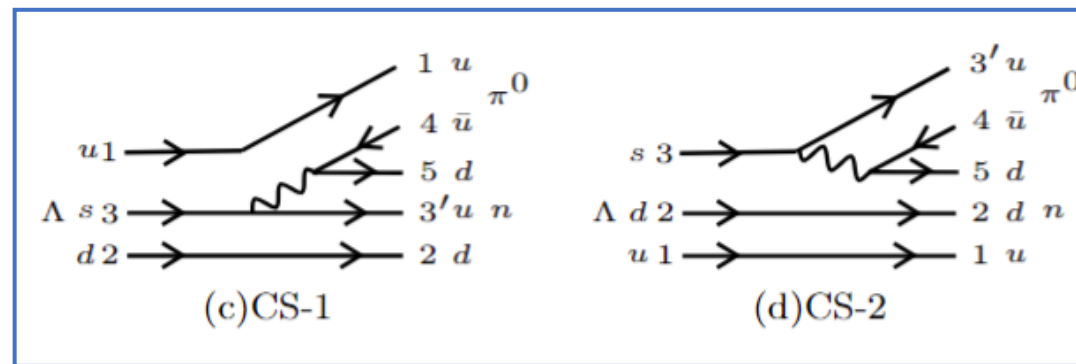
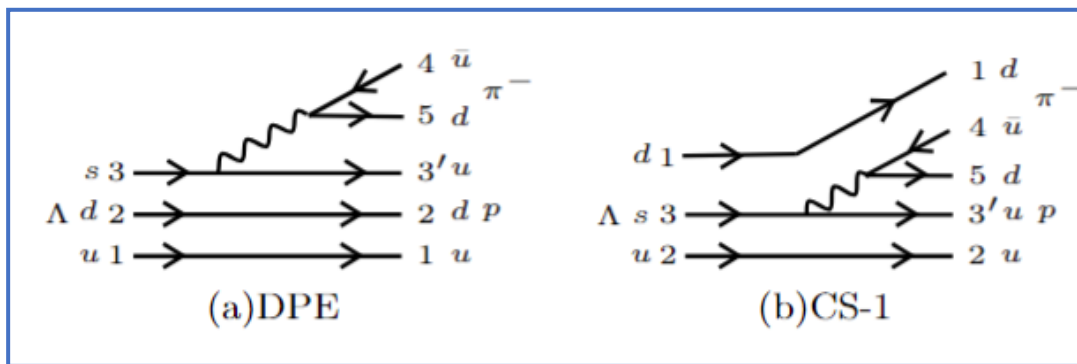
- '50s $R_\Lambda = \frac{\Gamma(\Lambda \rightarrow p\pi^-)}{\Gamma(\Lambda \rightarrow p\pi^-) + \Gamma(\Lambda \rightarrow n\pi^0)} = 0.624 \pm 0.03[1]$
- '60s $R'_\Lambda = \frac{\Gamma(\Lambda \rightarrow n\pi^0)}{\Gamma(\Lambda \rightarrow p\pi^-) + \Gamma(\Lambda \rightarrow n\pi^0)} = 0.35 \pm 0.05[2]; 0.291 \pm 0.034[3]$
- '70s $R_\Lambda = \frac{\Gamma(\Lambda \rightarrow p\pi^-)}{\Gamma(\Lambda \rightarrow p\pi^-) + \Gamma(\Lambda \rightarrow n\pi^0)} = 0.646 \pm 0.008[4]$

Puzzling relation in Λ decay!

$$\frac{Br^{exp}(\Lambda \rightarrow p\pi^-)}{Br^{exp}(\Lambda \rightarrow n\pi^0)} \approx 2$$

$\Lambda \rightarrow p\pi^-$

$\Lambda \rightarrow n\pi^0$



↑
dominant

$$\frac{Br^{DPE+CS}(\Lambda \rightarrow p\pi^-)}{Br^{CS}(\Lambda \rightarrow n\pi^0)} \gg 2$$

➡ **to find new Mechanism!**

对超子 Λ 和 Σ^\pm 的两体强子弱衰变的研究

$\Sigma^\pm \rightarrow n\pi^\pm$ and $\Sigma^+ \rightarrow p\pi^0$:

BESIII, arXiv: 2512.09628

● '70s $R_{\Sigma^+} = \frac{\Gamma(\Sigma^+ \rightarrow n\pi^+)}{\Gamma(\Sigma^+ \rightarrow n\pi^+) + \Gamma(\Sigma^+ \rightarrow p\pi^0)} = 0.488 \pm 0.008[5]$

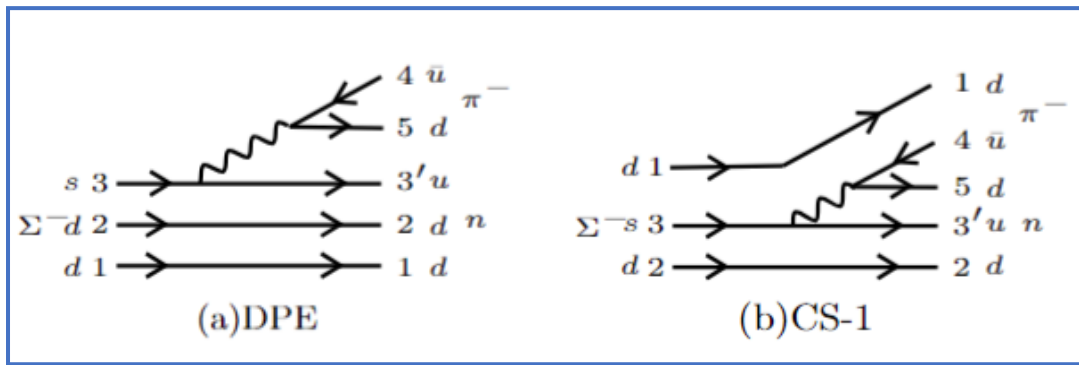


DPE/CS ~~X~~

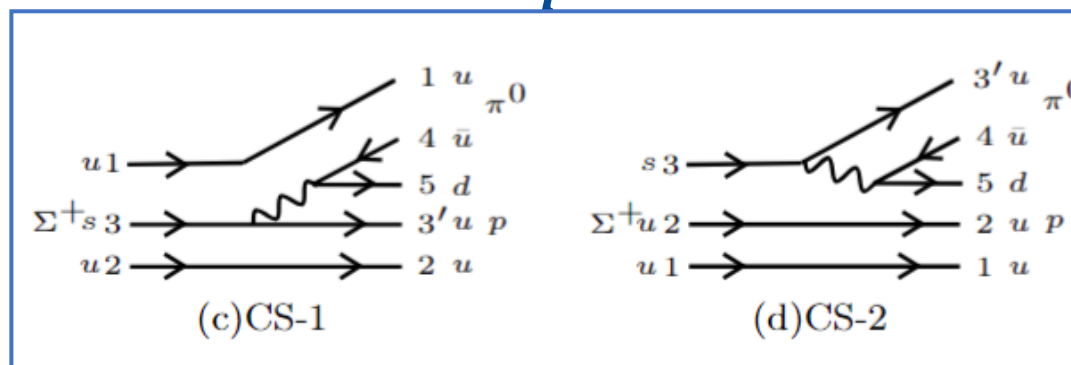
$\frac{Br^{exp}(\Sigma^+ \rightarrow n\pi^+)}{Br^{exp}(\Sigma^+ \rightarrow p\pi^0)} \approx 1$

● '80s $BR(\Sigma^+ \rightarrow p\pi^0) = 0.5172 \pm 0.0036[6]$

$\Sigma^- \rightarrow n\pi^-$



$\Sigma^+ \rightarrow p\pi^0$



DPE和CS过程对 $\Sigma^+ \rightarrow n\pi^+$ 没有贡献, 那么为什么

$Br(\Sigma^+ \rightarrow n\pi^+): Br(\Sigma^+ \rightarrow p\pi^0) \approx 1:1 ?$



to find new Mechanism!

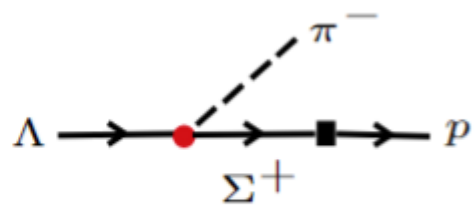
超子衰变中尚未解决的问题与强相互作用的非微扰动力学密切相关!

对超子 Λ 和 Σ^\pm 的两体强子弱衰变的研究

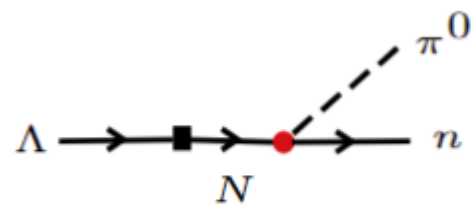
极点项



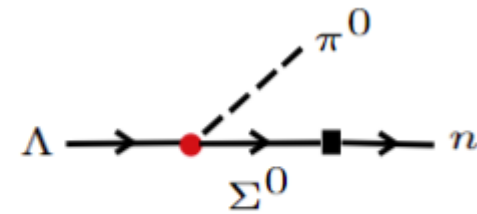
(a)type-A



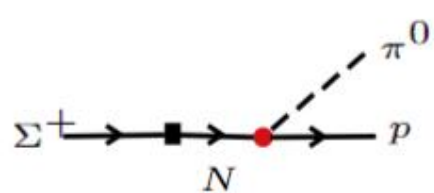
(b)type-B



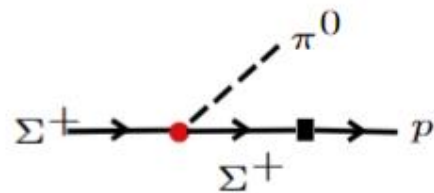
(c)type-A



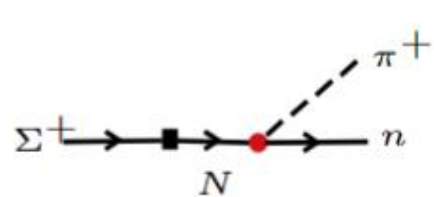
(d)type-B



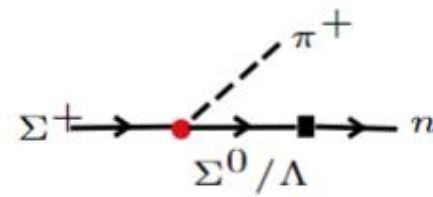
(a)type-A



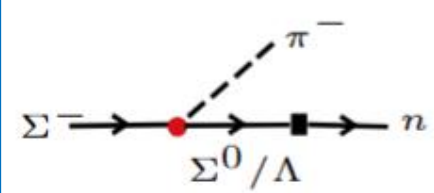
(b)type-B



(c)type-A



(d)type-B



(e)type-B

 $\Sigma^+ \rightarrow n\pi^+$ 的极点项 $\Sigma^- \rightarrow n\pi^-$ 只有type-B

极点项是一个两步过程，根据强弱相互作用发生的先后顺序将其分为**type-A**和**type-B**两种类型。

极点项是涉及**长程效应**的非局域跃迁过程。

对超子 Λ 和 Σ^\pm 的两体强子弱衰变的研究

The weak “2 → 2” internal conversion (PC) process

宇称守恒:

$$\frac{1^+}{2} \rightarrow \frac{1^+}{2}$$

$$\hat{O}_{f-s}^{(\text{PC})} = \alpha_i^{(+)} \beta_j^{(-)} (1 - \boldsymbol{\sigma}_i \cdot \boldsymbol{\sigma}_j)$$

$$|56, {}^2 8, 0, 0^+, \frac{1^+}{2}\rangle = \frac{1}{\sqrt{2}} (\phi^\rho \chi^\rho + \phi^\lambda \chi^\lambda) \psi_{000}^s(\mathbf{p}_\rho, \mathbf{p}_\lambda)$$

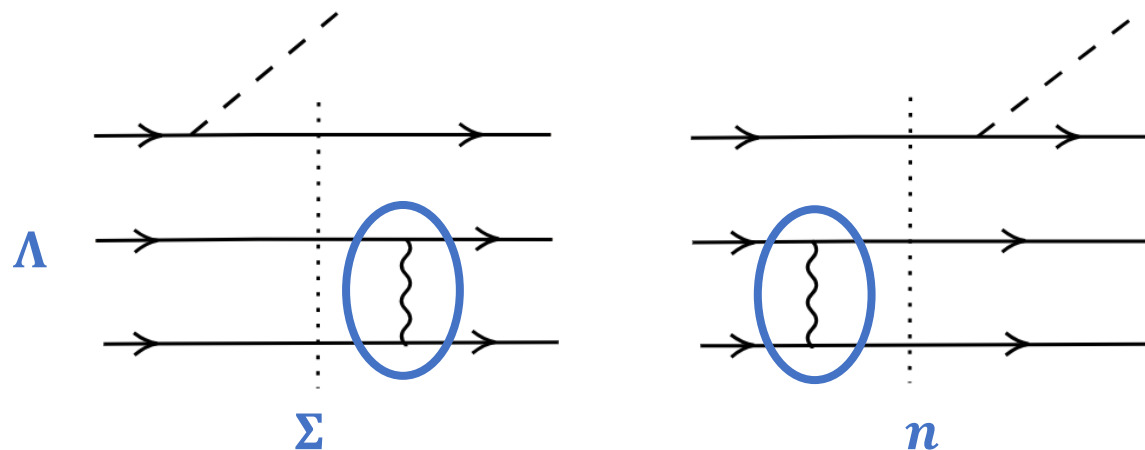


TABLE X: The flavor-spin matrix elements $C_{(\mathbb{B}_i \rightarrow \mathbb{B}_f)}^{f-s(\text{PC})}$ for the ground-state baryon conversions.

$\langle n \hat{O}_{f-s}^{(\text{PC})} \Lambda \rangle$	$\langle p \hat{O}_{f-s}^{(\text{PC})} \Sigma^+ \rangle$	$\langle n \hat{O}_{f-s}^{(\text{PC})} \Sigma^0 \rangle$
$-1/\sqrt{6}$	1	$1/\sqrt{2}$

对超子 Λ 和 Σ^\pm 的两体强子弱衰变的研究

Pion emission process in the chiral quark model (CQM)

- 赝标介子被视为基本粒子。
- 发生相互作用的夸克与赝标介子通过赝矢流耦合起来。

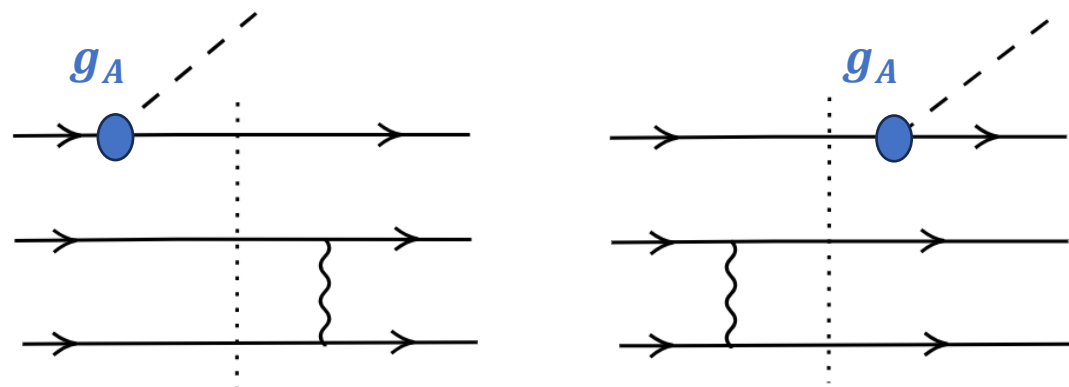
$$\hat{H}_m = \frac{1}{f_m} \sum_j \bar{\psi}_j \gamma_\mu \gamma_5 \partial^\mu \phi_m \hat{I}_j^m \psi_j,$$



$$H_m^{NR} = \frac{1}{f_m \sqrt{(2\pi)^3 2\omega_m}} \sum_j \left[\frac{\omega_m}{2m_j} \sigma_j \cdot \mathbf{p}_j + \frac{\omega_m}{2m'_j} \sigma_j \cdot \mathbf{p}'_j - \sigma_j \cdot \mathbf{k} \right] \hat{I}_j^m \delta^3(\mathbf{p}_j - \mathbf{p}'_j - \mathbf{k}),$$

TABLE XIII: Axial-vector couplings for the pion emission.

Processes	g_A	Processes	g_A	Processes	g_A	Processes	g_A
$n \rightarrow p\pi^-$	$-5/3$	$\Sigma^+ \rightarrow \Sigma^+\pi^0$	$-4/(3\sqrt{2})$	$\Sigma^- \rightarrow \Sigma^-\pi^0$	$4/(3\sqrt{2})$	$\Lambda_8 \rightarrow \Sigma^+\pi^-$	$2/\sqrt{6}$
$n \rightarrow n\pi^0$	$5/(3\sqrt{2})$	$\Sigma^+ \rightarrow \Sigma^0\pi^+$	$4/(3\sqrt{2})$	$\Sigma^- \rightarrow \Sigma^0\pi^-$	$-4/(3\sqrt{2})$	$\Lambda_8 \rightarrow \Sigma^0\pi^0$	$-2/\sqrt{6}$
$p \rightarrow n\pi^+$	$5/3$	$\Sigma^+ \rightarrow \Lambda_8\pi^+$	$-2/\sqrt{6}$	$\Sigma^- \rightarrow \Lambda_8\pi^-$	$-2/\sqrt{6}$	$\Lambda_8 \rightarrow \Sigma^-\pi^+$	$2/\sqrt{6}$
$p \rightarrow p\pi^0$	$-5/(3\sqrt{2})$						



$$|56, 2, 8, 0, 0^+, \frac{1}{2}^+\rangle = \frac{1}{\sqrt{2}} (\phi^\rho \chi^\rho + \phi^\lambda \chi^\lambda) \psi_{000}^s(\mathbf{p}_\rho, \mathbf{p}_\lambda)$$

对于衰变 $\mathbb{B}_i(\frac{1}{2}^+) \rightarrow \mathbb{B}_f(\frac{1}{2}^+) + \pi$:

$$g_A(\mathbb{B}_i \mathbb{B}_f \pi) \equiv \frac{\langle \mathbb{B}_f | \sum_j \hat{I}_j^\pi \sigma_{jz} | \mathbb{B}_i \rangle}{\langle \mathbb{B}_f | \sigma_z^{tot} | \mathbb{B}_i \rangle}$$

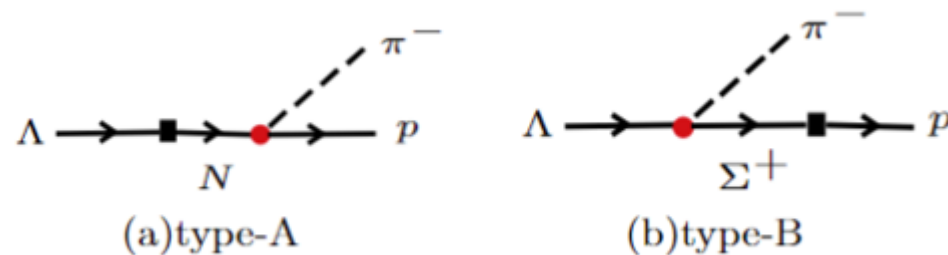
对超子 Λ 和 Σ^\pm 的两体强子弱衰变的研究

Amplitude of pole terms (PT)

$$\mathcal{M}_{\text{Pole,A}}^{(\text{PC})} = \mathcal{F}_A^{(\text{PC})}(\mathbf{k}) \times \mathcal{G}_A^{(\text{PC})},$$

$$\mathcal{M}_{\text{Pole,B}}^{(\text{PC})} = \mathcal{F}_B^{(\text{PC})}(\mathbf{k}) \times \mathcal{G}_B^{(\text{PC})},$$

以 $\Lambda \rightarrow p\pi^-$ 为例,



$$\mathcal{F}_A^{(\text{PC})}(\mathbf{k}) = \frac{G_F}{\sqrt{2}} V_{ud} V_{us} 48 \left(\frac{\alpha^2 \alpha_\rho \alpha_\lambda}{\sqrt{\pi} (4\alpha^2 + \alpha_\lambda^2 + 3\alpha_\rho^2)} \right)^{3/2} \times \frac{1}{f_\pi \sqrt{(2\pi)^3 2\omega_0}} |\mathbf{k}| \left(-1 - \frac{\omega_0}{6m_q} \right) \exp \left[-\frac{\mathbf{k}^2}{6\alpha^2} \right],$$

$$\mathcal{F}_B^{(\text{PC})}(\mathbf{k}) = \frac{G_F}{\sqrt{2}} V_{ud} V_{us} 48 \left(\frac{\alpha^2 \alpha_\rho \alpha_\lambda}{\sqrt{\pi} (4\alpha^2 + \alpha_\lambda^2 + 3\alpha_\rho^2)} \right)^{3/2} \times \frac{1}{f_\pi \sqrt{(2\pi)^3 2\omega_0}} |\mathbf{k}| \left(-1 - \frac{\omega_0}{4m_q + 2m_s} \right) \exp \left[-\frac{\mathbf{k}^2}{8} \left(\frac{3m_s^2}{(2m_q + m_s)^2 \alpha_\lambda^2} + \frac{1}{\alpha_\rho^2} \right) \right],$$

反号

$$\mathcal{G}^{(\text{PC})} = \mathcal{G}_A^{(\text{PC})} + \mathcal{G}_B^{(\text{PC})}$$

$$\mathcal{G}^{(\text{PC})}(\Lambda \rightarrow p\pi^-) \equiv \left[\frac{(2M_n) g_A^{np\pi^-} C_{(\Lambda \rightarrow n)}^{f-s(\text{PC})}}{M_\Lambda^2 - M_n^2} + \frac{(2M_\Sigma) g_A^{\Lambda\Sigma^+\pi^-} C_{(\Sigma^+ \rightarrow p)}^{f-s(\text{PC})}}{M_p^2 - M_\Sigma^2} \right]$$

对超子 Λ 和 Σ^\pm 的两体强子弱衰变的研究

$$\mathcal{G}^{(PC)} = \mathcal{G}_A^{(PC)} + \mathcal{G}_B^{(PC)}$$

$\mathcal{G}^{(PC)}(\Lambda \rightarrow p\pi^-) \equiv \left[\frac{(2M_n)g_A^{np\pi^-} C_{(\Lambda \rightarrow n)}^{f-s(PC)}}{M_\Lambda^2 - M_n^2} + \frac{(2M_\Sigma)g_A^{\Lambda\Sigma^+\pi^-} C_{(\Sigma^+ \rightarrow p)}^{f-s(PC)}}{M_p^2 - M_\Sigma^2} \right]$, 反号

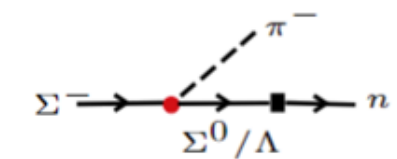
$\mathcal{G}^{(PC)}(\Lambda \rightarrow n\pi^0) \equiv \left[\frac{(2M_n)g_A^{nn\pi^0} C_{(\Lambda \rightarrow n)}^{f-s(PC)}}{M_\Lambda^2 - M_n^2} + \frac{(2M_\Sigma)g_A^{\Lambda\Sigma^0\pi^0} C_{(\Sigma^0 \rightarrow n)}^{f-s(PC)}}{M_n^2 - M_\Sigma^2} \right]$, 反号

$\mathcal{G}^{(PC)}(\Sigma^- \rightarrow n\pi^-) = \mathcal{G}_B^{(PC)}(\Sigma^- \rightarrow n\pi^-) \equiv \left[\frac{(2M_{\Sigma^0})g_A^{\Sigma^-\Sigma^0\pi^-} C_{(\Sigma^0 \rightarrow n)}^{f-s(PC)}}{M_n^2 - M_{\Sigma^0}^2} + \frac{(2M_\Lambda)g_A^{\Sigma^-\Lambda\pi^-} C_{(\Lambda \rightarrow n)}^{f-s(PC)}}{M_n^2 - M_\Lambda^2} \right]$, 反号

$\mathcal{G}^{(PC)}(\Sigma^+ \rightarrow p\pi^0) \equiv \left[\frac{(2M_p)g_A^{pp\pi^0} C_{(\Sigma^+ \rightarrow p)}^{f-s(PC)}}{M_{\Sigma^+}^2 - M_p^2} + \frac{(2M_{\Sigma^+})g_A^{\Sigma^+\Sigma^+\pi^0} C_{(\Sigma^+ \rightarrow p)}^{f-s(PC)}}{M_p^2 - M_{\Sigma^+}^2} \right]$, 反号

$\mathcal{G}^{(PC)}(\Sigma^+ \rightarrow n\pi^+) \equiv \left[\frac{(2M_p)g_A^{pn\pi^+} C_{(\Sigma^+ \rightarrow p)}^{f-s(PC)}}{M_{\Sigma^+}^2 - M_p^2} + \frac{(2M_{\Sigma^0})g_A^{\Sigma^+\Sigma^0\pi^+} C_{(\Sigma^0 \rightarrow n)}^{f-s(PC)}}{M_n^2 - M_{\Sigma^0}^2} + \frac{(2M_\Lambda)g_A^{\Sigma^+\Lambda\pi^+} C_{(\Lambda \rightarrow n)}^{f-s(PC)}}{M_n^2 - M_\Lambda^2} \right]$, 同号

$\frac{\mathcal{G}^{(PC)}(\Lambda \rightarrow n\pi^0)}{\mathcal{G}^{(PC)}(\Lambda \rightarrow p\pi^-)} = -\frac{1}{\sqrt{2}}$



(e)type-B

- 对于 $\Sigma^- \rightarrow n\pi^-$, 只有B-型极点项有贡献。
- 极点项的贡献情况在不同的衰变道中是不同的。
- 这些极点项振幅之间总存在着某种形式的相消机制。

对超子 Λ 和 Σ^\pm 的两体强子弱衰变的研究

- 我们注意到 Λ 和 Σ^\pm 同属于奇异数为-1的基态重子八重态，预期它们应该有**相似的衰变机制**。
- 我们对 Λ 和 Σ^\pm 到 $N\pi$ 的衰变做了一个**联合分析**，在组分夸克模型的框架下系统计算了每个道中所涉及的外发射**DPE过程、内发射CS过程和极点项的贡献**。
- 然而上述机制唯独对 $\Lambda \rightarrow n\pi^0$ 描述不好。 **?**

TABLE XIX: The amplitudes of DPE, CS and pole terms with $J_f^z = J_i^z = -1/2$ for $\Lambda \rightarrow N\pi$ and the unit is $10^{-9} \text{ GeV}^{-1/2}$. The parity-violating intermediate states $\Sigma(1620)$ and $\Sigma(1750)$ are the first orbital excited states $|70,^2 8\rangle$ and $|70,^4 8\rangle$, respectively. The parity-violating intermediate states $N(1535)$ and $N(1650)$ also are the first orbital excited states considering the mixing of $|70,^2 8\rangle$ and $|70,^4 8\rangle$ with the mixing angle $\theta_N = 26^\circ$.

DPE-dominant

PC:宇称守恒

(PC)	DPE	CS1	CS2	A[n(939)]	A[N(1440)]	A[N(1710)]	B[$\Sigma(1193)$]	B[$\Sigma(1660)$]	B[$\Sigma(1880)$]
$\Lambda \rightarrow p\pi^-$	10.11	0.61	-	25.75	$0.95 + 0.58i$	0	-32.39	$-1.39 - 0.24i$	$0.014 + 0.003i$
$\Lambda \rightarrow n\pi^0$	-	-0.44	-2.46	-18.89	$-0.69 - 0.42i$	0	23.59	$1.02 + 0.18i$	$-0.010 - 0.002i$

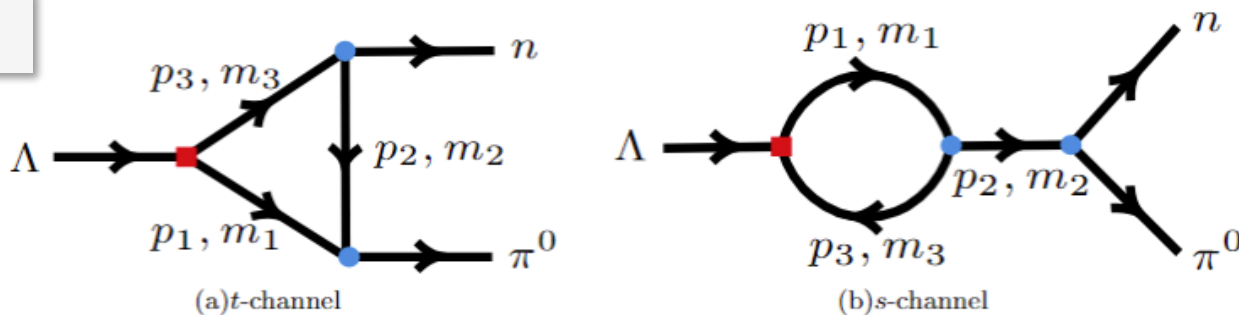
PV:宇称破坏

(PV)	DPE	CS1	CS2	A[N 70, ² 8]	A[N 70, ⁴ 8]	A[N(1535)]	A[N(1650)]	B[$\Sigma(1620)$]	B[$\Sigma(1750)$]
$\Lambda \rightarrow p\pi^-$	-40.14	-4.39	-	$24.10 + 3.95i$	$-18.52 - 2.02i$	$28.36 + 4.65i$	$-21.97 - 2.39i$	$10.92 + 0.41i$	$-32.46 - 1.23i$
$\Lambda \rightarrow n\pi^0$	-	3.10	9.46	$-16.92 - 2.77i$	$13.00 + 1.42i$	$-19.91 - 3.26i$	$15.42 + 1.68i$	$-7.71 - 0.29i$	$22.91 + 0.87i$

- 基于 $\Lambda \rightarrow p\pi^-$ 有这么大的DPE贡献，我们便合理地考虑了从 $p\pi^-$ 重散射到 $n\pi^0$ 的FSIs机制。
- 在 Σ 衰变中不存在这种来自于主导的直接发射过程的FSIs贡献。

对超子 Λ 和 Σ^\pm 的两体强子弱衰变的研究

圈过程


 $[t, (P), M1, M3, (M2)]$
 $[s, (P), M1, M3, (M2)]$
 $[t, (PC), \pi^-, p, (\rho^-)]$
 $[s, (PC), p, \pi^-, (n)]$
 $[t, (PC), p, \pi^-, (p)]$
 $[s, (PC), p, \pi^-, (N(1440))]$
 $[t, (PV), \pi^-, p, (\rho^-)]$
 $[s, (PV), p, \pi^-, (N(1535))]$
 $[t, (PV), p, \pi^-, (p)]$
 $[s, (PV), p, \pi^-, (N(1650))]$

$$i\mathcal{M} = g_1 g_2 g_3 \int \frac{d^4 p_1}{(2\pi)^4} \frac{\bar{u}(p_n) (\gamma_\alpha - \frac{f_3}{2M_B g_3} \frac{[\gamma_\alpha, \gamma_\beta]}{2} p_2^\beta) (\not{p}_3 + m_3) \gamma_\mu \gamma_5 p_1^\mu u(p_\Lambda) (p_1 + p_\pi)_\nu (g^{\alpha\nu} - \frac{p_2^\alpha p_2^\nu}{p_2^2})}{(p_1^2 - m_1^2 + i\epsilon)(p_2^2 - m_2^2 + i\epsilon)(p_3^2 - m_3^2 + i\epsilon)} \mathcal{F}(p_i^2).$$

对基态超子 Λ 和 Σ^\pm 的两体强子弱衰变的研究TABLE XIX: The loop amplitudes with $J_f^z = J_i^z = -1/2$ for $\Lambda \rightarrow n\pi^0$ and the unit is $10^{-9} \text{ GeV}^{-1/2}$.

$\mathcal{M}_L^{-\frac{1}{2}, -\frac{1}{2}}$	$\alpha = 1$	$\alpha = 2$	$\alpha = 2.5$
$[t, (\text{PC}), \pi^-, p, (\rho^-)]$	$-0.46 - 0.18i$	$-0.13 - 0.28i$	$-1.64 - 0.31i$
$[t, (\text{PC}), p, \pi^-, (p)]$	$-0.03 - 0.04i$	$0.01 - 0.05i$	$0.08 - 0.05i$
$[s, (\text{PC}), p, \pi^-, (n)]$	$-2.25 + 0.58i$	$-8.76 + 0.58i$	$-13.56 + 0.58i$
$[s, (\text{PC}), p, \pi^-, (N(1440))]$	$-0.15 - 0.05i$	$-0.53 - 0.27i$	$-0.80 - 0.44i$
$[t, (\text{PV}), \pi^-, p, (\rho^-)]$	$1.67 + 1.66i$	$3.63 + 2.52i$	$4.51 + 2.80i$
$[t, (\text{PV}), p, \pi^-, (p)]$	$0.26 + 0.20i$	$0.60 + 0.25i$	$0.77 + 0.27i$
$[s, (\text{PV}), p, \pi^-, (N(1535))]$	$0.42 + 0.56i$	$0.74 + 0.63i$	$0.86 + 0.65i$
$[s, (\text{PV}), p, \pi^-, (N(1650))]$	$0.36 + 0.42i$	$0.61 + 0.45i$	$0.71 + 0.47i$

more important

- 有些圈过程起到了重要作用。
- 在极点项之间存在着一种“fine-tuned”相消机制。

TABLE XIX: The amplitudes of DPE, CS and pole terms with $J_f^z = J_i^z = -1/2$ for $\Lambda \rightarrow N\pi$ and the unit is $10^{-9} \text{ GeV}^{-1/2}$. The parity-violating intermediate states $\Sigma(1620)$ and $\Sigma(1750)$ are the first orbital excited states $|70,^2 8\rangle$ and $|70,^4 8\rangle$, respectively. The parity-violating intermediate states $N(1535)$ and $N(1650)$ also are the first orbital excited states considering the mixing of $|70,^2 8\rangle$ and $|70,^4 8\rangle$ with the mixing angle $\theta_N = 26^\circ$.

(PC)	DPE	CS1	CS2	A[n(939)]	A[N(1440)]	A[N(1710)]	B[$\Sigma(1193)$]	B[$\Sigma(1660)$]	B[$\Sigma(1880)$]
$\Lambda \rightarrow p\pi^-$	10.11	0.61	-	25.75	$0.95 + 0.58i$	0	-32.39	$-1.39 - 0.24i$	$0.014 + 0.003i$
$\Lambda \rightarrow n\pi^0$	-	-0.44	-2.46	-18.89	$-0.69 - 0.42i$	0	23.59	$1.02 + 0.18i$	$-0.010 - 0.002i$
(PV)	DPE	CS1	CS2	A[$N 70,^2 8\rangle$]	A[$N 70,^4 8\rangle$]	A[N(1535)]	A[N(1650)]	B[$\Sigma(1620)$]	B[$\Sigma(1750)$]
$\Lambda \rightarrow p\pi^-$	-40.14	-4.39	-	$24.10 + 3.95i$	$-18.52 - 2.02i$	$28.36 + 4.65i$	$-21.97 - 2.39i$	$10.92 + 0.41i$	$-32.46 - 1.23i$
$\Lambda \rightarrow n\pi^0$	-	3.10	9.46	$-16.92 - 2.77i$	$13.00 + 1.42i$	$-19.91 - 3.26i$	$15.42 + 1.68i$	$-7.71 - 0.29i$	$22.91 + 0.87i$

对超子 Λ 和 Σ^\pm 的两体强子弱衰变的研究

TABLE XVIII: The calculated BR and AP containing DPE, CS and pole terms contributions for the decays $\Lambda \rightarrow N\pi$. For $n\pi^0$ channel, the results with FSIs are given in the brackets in the last column of the table: the value in the round brackets corresponds to the cutoff parameter $\alpha = 2$, while the value in the square brackets corresponds to $\alpha = 2.5$. $\bar{\alpha}_0$ is the asymmetry parameter of the charge conjugate decay of $\Lambda \rightarrow n\pi^0$.

$$\Lambda \rightarrow N\pi$$

		$\Lambda \rightarrow p\pi^-$	$\Lambda \rightarrow n\pi^0$
BR(in%)	Expt.	64.1 ± 0.5 [18]	35 ± 5 [5] 29.1 ± 3.4 [4]
	Ours	62.85	5.23 (18.95) [30.41]
AP	Expt.	$\alpha_- = 0.757 \pm 0.011 \pm 0.008$ [9]	$\bar{\alpha}_0 = -0.692 \pm 0.016 \pm 0.006$ [10] $\alpha_0 = (1.000 \pm 0.068)\alpha_-$ [20]
	Ours	0.702	0.068 (0.737) [0.701]

[4]PR, 131: 2208, 1963

[5]PR, 130: 769-775, 1963

[9]Nature, 606 (7912): 64-69, 2022

[10]Nature phys, 15: 631-634, 2019

[18]PDG, PRD, 110 (3): 030001, 2024

[20]PRL, 24: 843-847, 1970

- 包含DPE, CS和极点项贡献的BR和AP与 $\Lambda \rightarrow p\pi^-$ 的实验数据相一致, 但对 $\Lambda \rightarrow n\pi^0$ 的描述是失败的。
- 来自 $p\pi^-$ 的FSIs贡献对 $\Lambda \rightarrow n\pi^0$ 的BR有一定的增强效果。
- 考虑FSIs后, 我们发现在选取一个稍微比较大的截断参数后, $\Lambda \rightarrow n\pi^0$ 的BR和AP也将更加靠近实验值。

对超子 Λ 和 Σ^\pm 的两体强子弱衰变的研究

$$\Sigma^\pm \rightarrow N\pi$$

TABLE XVI: The amplitudes of DPE, CS and pole terms with $J_f^z = J_i^z = -1/2$ for $\Sigma^\pm \rightarrow N\pi$ and the unit is $10^{-9} \text{ GeV}^{-1/2}$. Using the quark model classification, the first orbital excited states $N(1535)/\Sigma(1620)/\Lambda(1670)$ and $N(1650)/\Sigma(1750)/\Lambda(1800)$ are octet baryons $|70,^2 8\rangle$ and $|70,^4 8\rangle$, respectively. $\Lambda(1405)$ is classified as a singlet baryon $|70,^2 1\rangle$.

(PC)	DPE	CS-1	CS-2	A[n(939)]	A[N(1440)]	A[N(1710)]	B[$\Sigma(1193)$]	B[$\Lambda(1116)$]	B[$\Sigma(1660)$]	B[$\Lambda(1600)$]	B[$\Sigma(1880)$]	B[$\Lambda(1810)$]
$\Sigma^- \rightarrow n\pi^-$	-5.18	-0.94	-	-	-	-	23.98	29.85	$1.52 + 0.26i$	$-1.54 - 0.31i$	$-0.04 - 0.01i$	$0.32 + 0.03i$
$\Sigma^+ \rightarrow p\pi^0$	-	-0.65	-1.20	-49.46	$-3.59 - 2.75i$	$0.70 + 0.11i$	33.83	-	$2.07 + 0.36i$	-	$-0.05 - 0.01i$	-
$\Sigma^+ \rightarrow n\pi^+$	-	-	-	68.59	$4.99 + 3.82i$	$-0.98 - 0.15i$	-23.31	-29.02	$-1.43 - 0.25i$	$-1.45 - 0.29i$	$0.20 + 0.04i$	$0.31 + 0.03i$
(PV)	DPE	CS-1	CS-2	A[N(1535)]	A[N(1650)]	B[$\Sigma(1620)$]	B[$\Lambda(1670)$]	B[$\Sigma(1750)$]	B[$\Lambda(1800)$]	B[$\Lambda(1405)$]		
$\Sigma^- \rightarrow n\pi^-$	-32.18	-10.65	-	-	-	$-15.12 - 0.56i$	$4.10 + 0.11i$	$-8.99 - 0.34i$	$-19.20 - 2.20i$	$-42.61 - 2.74i$		
$\Sigma^+ \rightarrow p\pi^0$	-	-7.53	-7.59	$-49.59 - 9.58i$	$39.32 + 4.82i$	$-21.08 - 0.78i$	-	$-12.53 - 0.48i$	-	-		
$\Sigma^+ \rightarrow n\pi^+$	-	-	-	$70.33 + 13.58i$	$-55.77 - 6.84i$	$14.89 + 0.55i$	$4.04 + 0.11i$	$8.84 + 0.34i$	$-18.90 - 2.17i$	$-41.94 - 2.70i$		

- 极点项的贡献情况是依赖于衰变过程的，所以它们的抵消模式和抵消程度在各个道中也是不同的。
- 极点项的贡献是不可忽略的，尤其是对 $\Sigma^+ \rightarrow n\pi^+$ 。
- 单态 $\Lambda(1405)$ 对 $\Sigma^\pm \rightarrow n\pi^\pm$ 这两个道具有不小的贡献。

对超子 Λ 和 Σ^\pm 的两体强子弱衰变的研究

$$\Sigma^\pm \rightarrow N\pi$$

[12]BESIII, PRL, 125 (5): 052004, 2020

[13]BESIII, PRL, 131 (19): 191802, 2023

[18]PDG, PRD, 110 (3): 030001, 2024

TABLE XV: The calculated BR and AP containing DPE, CS and pole terms contributions for the decays $\Sigma^\pm \rightarrow N\pi$

		$\Sigma^- \rightarrow n\pi^-$	$\Sigma^+ \rightarrow p\pi^0$	$\Sigma^+ \rightarrow n\pi^+$
BR(in%)	Expt.	99.849 ± 0.005 [18]	51.57 ± 0.3 [18]	48.31 ± 0.3 [18]
	Ours (<i>without</i> $\Lambda(1405)$)	62.102	51.43	30.28
	Ours (<i>with</i> $\Lambda(1405)$)	99.834	51.43	48.56
AP	Expt.	$\alpha_- = -0.068 \pm 0.008$ [18]	$\alpha_0 = -0.998 \pm 0.037 \pm 0.009$ [12] $\alpha_0 = \alpha_+ / (-0.049 \pm 0.0032 \pm 0.0021)$ [13]	$\alpha_+ = 0.0481 \pm 0.0031 \pm 0.0019$ [13]
	Ours (<i>without</i> $\Lambda(1405)$)	-0.256	-0.711	-0.960
	Ours (<i>with</i> $\Lambda(1405)$)	-0.057	-0.711	0.0758

- 当将DPE、CS和极点项的贡献统一考虑在内后，我们计算得到的分支比和不对称参数 α 的符号与实验测量结果一致。
- α 的大小行为也与实验比较一致，即 $n\pi^-$ 和 $n\pi^+$ 趋于0，而 $p\pi^0$ 更偏向于1。

对超子 Λ 和 Σ^\pm 的两体强子弱衰变的研究

小结

- 我们对超子 Λ 和 Σ^\pm 的两体强子弱衰变进行了综合的理论分析，并给出了BR和AP的定量计算结果。
- 我们发现在低能区，以极点项和重散射方式出现的长程机制在其中发挥着重要作用。

对十重态超子 Ω 的两体强子弱衰变的研究

Ω^- 是唯一通过弱相互作用进行衰变的十重态重子。

$$\text{BR}[\Omega^- \rightarrow \Xi^0 \pi^-] = (25.03 \pm 0.44 \pm 0.53)\%,$$

$$\text{BR}[\Omega^- \rightarrow \Xi^- \pi^0] = (8.43 \pm 0.52 \pm 0.28)\%,$$

BESIII, PRD, 108(9): L091101, 2023

$$\text{BR}[\Omega^- \rightarrow \Lambda K^-] = (66.3 \pm 0.8 \pm 2.0)\%,$$

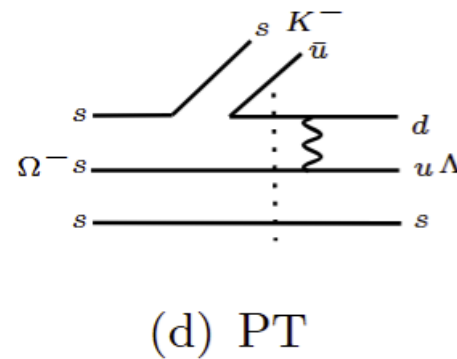
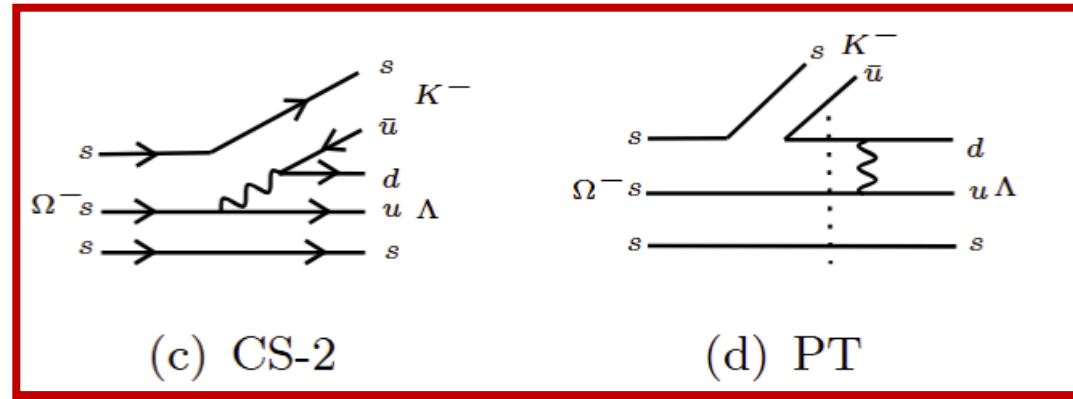
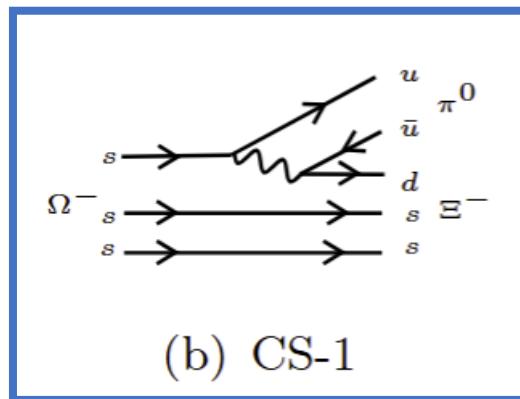
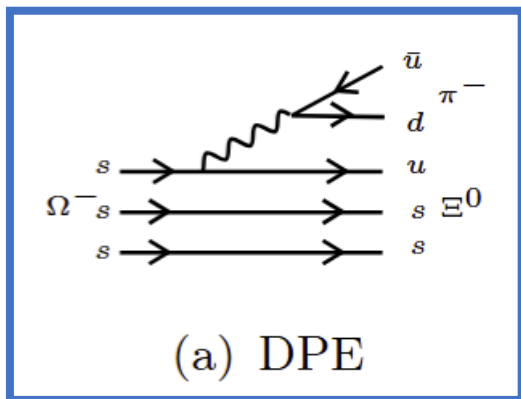
$$\alpha[\Omega^- \rightarrow \Xi^0 \pi^-] = 0.09 \pm 0.14,$$

$$\alpha[\Omega^- \rightarrow \Xi^- \pi^0] = 0.05 \pm 0.21,$$

$$\alpha = \frac{2\text{Re}(P^* D)}{|P|^2 + |D|^2}$$

$$\alpha[\Omega^- \rightarrow \Lambda K^-] = 0.0154 \pm 0.0020.$$

α 几乎为零，说明衰变由宇称守恒 (P wave) 或宇称破坏 (D wave) 主导。

对十重态超子 Ω 的两体强子弱衰变的研究

- $\frac{f_{color}(CS)}{f_{color}(DPE)} = \frac{1}{3}$
- $\langle \pi^- | d\bar{u} \rangle = 1$ and $\langle \pi^0 | u\bar{u} \rangle = \frac{1}{\sqrt{2}}$

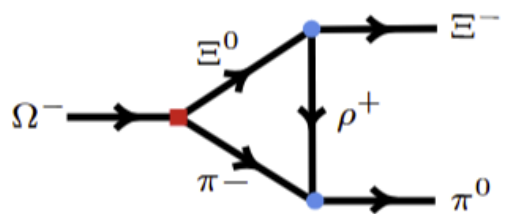
$$\Rightarrow \left| \frac{\mathcal{M}_{CS}(\Omega^- \rightarrow \Xi^- \pi^0)}{\mathcal{M}_{DPE}(\Omega^- \rightarrow \Xi^0 \pi^-)} \right| = \frac{1}{3\sqrt{2}}$$

(单个)极点项在 Ω 非轻衰变中发挥重要作用。

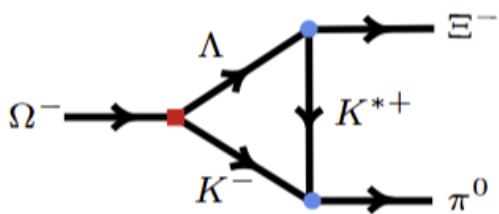
$$\text{BR}[\Omega^- \rightarrow \Xi^0 \pi^-] = (25.03 \pm 0.44 \pm 0.53)\%$$

$$\text{BR}[\Omega^- \rightarrow \Xi^- \pi^0] = (8.43 \pm 0.52 \pm 0.28)\%$$

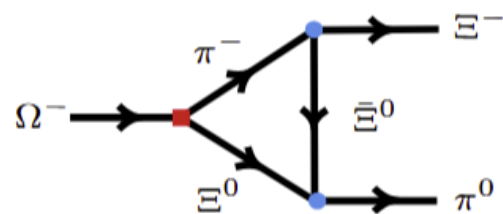
$$\text{BR}[\Omega^- \rightarrow \Lambda K^-] = (66.3 \pm 0.8 \pm 2.0)\%$$

对十重态超子 Ω 的两体强子弱衰变的研究

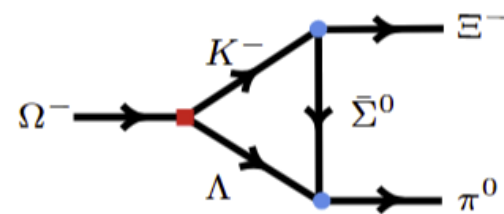
(a)



(b)



(c)



(d)

对 $\Omega^- \rightarrow \Xi^- \pi^0$: 考虑来自于中间过程 $\Xi^0 \pi^-$ 和 ΛK^- 的末态相互作用 (FSIs) 贡献。

$$i\mathcal{M}_t =$$

$$g_1 g_2 g_3 \int \frac{d^4 p_1}{(2\pi)^4} \frac{p_{1\mu} (p_1 + p_M)_\nu (g^{\alpha\nu} - \frac{p_2^\alpha p_2^\nu}{p_2^2}) \bar{u}(p_f, \lambda_f) (\gamma_\alpha - \frac{f_3}{2m_{\Xi} g_3} \frac{[\gamma_\alpha, \gamma_\beta]}{2} p_2^\beta) (p_3 + m_3) u^\mu(p_i, \lambda_i)}{(p_1^2 - m_1^2 + i\epsilon)(p_2^2 - m_2^2 + i\epsilon)(p_3^2 - m_3^2 + i\epsilon)} \mathcal{F}(p_i^2)$$

计算结果表明: 长程的FSIs扮演重要角色 (低能区包含丰富的非微扰QCD效应)。

对十重态超子 Ω 的两体强子弱衰变的研究

PC: 宇称守恒

PV: 宇称破坏

TABLE VII: The tree-level amplitudes with $J_f^z = J_i^z = -1/2$ for different channels and the unit is 10^{-7} GeV.

$\mathcal{M}_T^{\frac{3}{2}^-, \frac{1}{2}^-; \frac{1}{2}^- \frac{1}{2}^-}$	DPE(PC)	CS-1(PC)	CS-2(PC)	PT(PC)	PT(PV)
$\Omega^- \rightarrow \Xi^0 \pi^-$	9.70	-	-	-	-
$\Omega^- \rightarrow \Xi^- \pi^0$	-	-2.24	-	-	-
$\Omega^- \rightarrow \Lambda K^-$	-	-	1.43	-18.69	-0.114 - 0.002i

TABLE VIII: The loop amplitudes with $J_f^z = J_i^z = -1/2$ for $\Omega^- \rightarrow \Xi^0 \pi^-$ at two different values of Λ and the unit is 10^{-8} GeV.

$\mathcal{M}_L^{\frac{3}{2}^-, \frac{1}{2}^-; \frac{1}{2}^- \frac{1}{2}^-}$	$[\pi^-, \Xi^0, (\rho^+)]$	$[K^-, \Lambda, (K^{*+})]$	$[\Xi^0, \pi^-, (\bar{\Xi}^0)]$	$[\Lambda, K^-, (\bar{\Sigma}^0)]$
$\Lambda = 1.5$ GeV	9.25 - 6.14i	-5.32 - 11.89i	0.008 - 0.03i	0.026 - 0.38i
$\Lambda = 2.0$ GeV	10.68 - 18.92i	-6.74 - 16.84i	0.006 - 0.14i	0.020 - 1.00i

$$\frac{3^+}{2} \rightarrow \frac{1^+}{2} + 0^-$$

DPE and CS ($s \rightarrow ud\bar{u}$)

PT($su \rightarrow ud$)

$$\frac{3^+}{2} \rightarrow \frac{3^\pm}{2} \rightarrow \frac{1^+}{2} + 0^-$$

- 我们考虑的NR极限下的 $H_{W(s \rightarrow ud\bar{u})}$ 只包括S和P波算符
- 对 ΛK^- , PT贡献不小
- 对 $\Xi^0 \pi^-$ 道, 圈图贡献不小

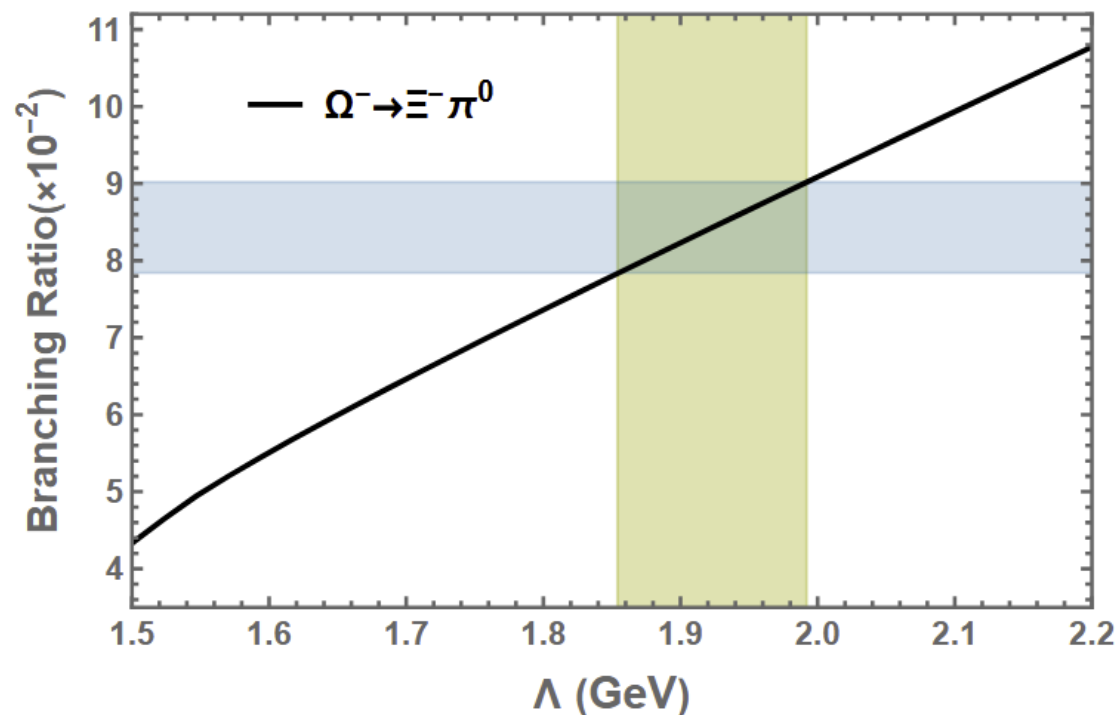
对十重态超子 Ω 的两体强子弱衰变的研究

FIG. 3: The obtained branching ratio of $\Omega^- \rightarrow \Xi^- \pi^0$ as a function of the cut-off parameter Λ , comparing with the experimental data (horizontal blue bands). The vertical dark yellow band indicates the range where our results overlap with the experimental data.

$$\mathcal{F}(p_i^2) = \prod_i \left(\frac{\Lambda_i^2 - m_i^2}{\Lambda_i^2 - p_i^2} \right)$$

- 在 $\Lambda = 1.9$ GeV附近时, $\Xi^0 \pi^-$ 的分支比与实验范围保持一致
- FSIs对重现 $\Xi^0 \pi^-$ 的BR至关重要
- 长程机制在低能区的超子弱衰变不可忽视

对十重态超子 Ω 的两体强子弱衰变的研究

TABLE IX: Our results of branching ratio (BR) and asymmetry parameter (AP) for the decays $\Omega^- \rightarrow \Xi\pi$ and ΛK^- compared with the experimental data [3, 4] (labeled with Expt.) and the other theory predictions [6, 8, 10, 11]. For $\Omega^- \rightarrow \Xi^-\pi^0$, the values listed in the fourth column are the results with the contribution of FSIs corresponding to the cut-off parameter $\Lambda = 1.9$ GeV.

		$\Omega^- \rightarrow \Xi^0\pi^-$	$\Omega^- \rightarrow \Xi^-\pi^0$	$\Omega^- \rightarrow \Lambda K^-$
BR(%)	Ours	24.52	8.23	65.83
	Expt. [4]	$25.03 \pm 0.44 \pm 0.53$	$8.43 \pm 0.52 \pm 0.28$	$66.3 \pm 0.8 \pm 2.0$
	Ref. [6]	17.18	8.59	78.94
	Ref. [8]	20.21	9.48	69.98
	Ref. [10]	34.67	5.36	67.98
	Ref. [11]	23.6 ± 0.7	8.6 ± 0.4	67.8 ± 0.7
AP	Ours	0	0	0.0121
	Expt. [3]	0.09 ± 0.14	0.05 ± 0.21	0.0154 ± 0.002
	Ref. [8]	0	0	-0.015

- 我们对 Ω 的三个衰变道的BR和AP的计算结果与实验范围相一致
- $\Xi^0\pi^-$ 和 ΛK^- 有较大的分支比是由于大的DPE和PT贡献
- $\Xi^-\pi^0$ 的分支比受到 $\Xi^0\pi^-$ 和 ΛK^- 的重散射相互作用的增强

对十重态超子 Ω 的两体强子弱衰变的研究

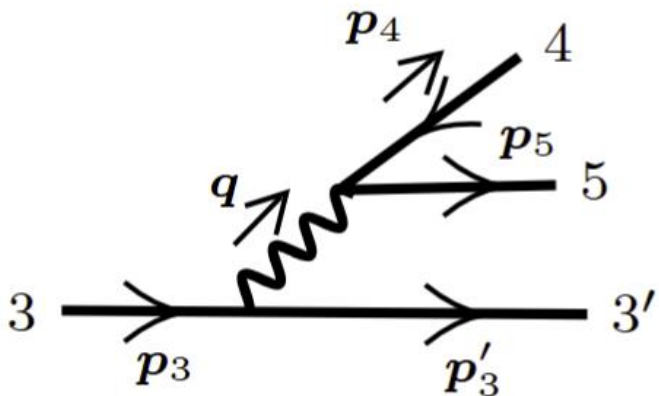
小结

- 这项工作表明，对 Ω 强子弱衰变的统一描述需要夸克层次的弱跃迁顶点、极点结构以及长程FSIs动力学之间的相互作用。
- Ω 的三个衰变道的各个衰变机制和BR的排序更直接说明超子衰变中长程动力学的存在，这是对八重态超子的弱衰变机制的补充。
- 在低能区，以极点项和重散射方式出现的长程机制在超子中发挥着重要作用。

THANKS

恳请老师们批评与指正

对十重态超子 Ω 的两体强子弱衰变的研究



$1 \rightarrow 3$

$$\frac{3^+}{2} \rightarrow \frac{1^+}{2} + 0^-$$

P/D-wave

"1 \rightarrow 3"	$\bar{u}(p'_3)\Gamma u(p_3)$	$\bar{u}(p_5)\Gamma v(p_4)$
$J_V^0 = \bar{\psi}\gamma^0\psi$	$\phi_3'^{\dagger} \left[1 + \frac{p'_3 \cdot p_3 + i\sigma \cdot (p'_3 \times p_3)}{(2m'_3)(2m_3)} \right] \phi_3$	$\phi_5^{\dagger} \left[\frac{\tau \cdot p_4}{2m_4} + \frac{\tau \cdot p_5}{2m_5} \right] \phi_4$
$J_V = \bar{\psi}\gamma\psi$	$\phi_3'^{\dagger} \left[\frac{p_3 - i\sigma \times p_3}{2m_3} + \frac{p'_3 + i\sigma \times p'_3}{2m'_3} \right] \phi_3$	$\phi_5^{\dagger} \left[\tau - \frac{(\tau \cdot p_5)\tau(\tau \cdot p_4)}{(2m_5)(2m_4)} \right] \phi_4$
$J_A^0 = \bar{\psi}\gamma^0\gamma_5\psi$	$\phi_3'^{\dagger} \left[\frac{\sigma \times p_3}{2m_3} + \frac{\sigma \times p'_3}{2m'_3} \right] \phi_3$	$\phi_5^{\dagger} \left[1 - \frac{p_5 \cdot p_4 + i\tau \cdot (p_5 \times p_4)}{(2m_5)(2m_4)} \right] \phi_4$
$J_A = \bar{\psi}\gamma\gamma_5\psi$	$\phi_3'^{\dagger} \left[\sigma - \frac{(\sigma \cdot p'_3)\sigma(\sigma \cdot p_3)}{(2m'_3)(2m_3)} \right] \phi_3$	$\phi_5^{\dagger} \left[\frac{p_4 - i\tau \times p_4}{2m_4} + \frac{p_5 + i\tau \times p_5}{2m_5} \right] \phi_4$

科研工作二：对十重态超子 Ω 的两体强子弱衰变的研究

$$\hat{H}_{W,1\rightarrow 3}^{(PC)(LO)} = \frac{G_F}{\sqrt{2}} V_{ud} V_{us} \frac{\beta}{(2\pi)^3} \hat{\alpha}_3^{(+)} \hat{I}_P \delta^3(\mathbf{p}_3 - \mathbf{p}'_3 - \mathbf{p}_4 - \mathbf{p}_5)$$

$$\times \left\{ \left[\langle s'_3 | I | s_3 \rangle \langle s_5 \bar{s}_4 | \boldsymbol{\sigma} | 0 \rangle - \langle s'_3 | \boldsymbol{\sigma} | s_3 \rangle \langle s_5 \bar{s}_4 | I | 0 \rangle \right] \cdot \left[\left(\frac{\mathbf{p}_5}{2m_5} + \frac{\mathbf{p}_4}{2m_4} \right) - \left(\frac{\mathbf{p}'_3}{2m'_3} + \frac{\mathbf{p}_3}{2m_3} \right) \right] \right.$$

$$\left. + i \langle s'_3 | \boldsymbol{\sigma} | s_3 \rangle \times \langle s_5 \bar{s}_4 | \boldsymbol{\sigma} | 0 \rangle \cdot \left[\left(\frac{\mathbf{p}_4}{2m_4} - \frac{\mathbf{p}_5}{2m_5} \right) - \left(\frac{\mathbf{p}_3}{2m_3} - \frac{\mathbf{p}'_3}{2m'_3} \right) \right] \right\},$$

$$\frac{3^+}{2} \rightarrow \underbrace{\frac{1^+}{2} + 0^-}_{P/D\text{-wave}}$$

$$\hat{H}_{W,1\rightarrow 3}^{(PV)(LO)} = \frac{G_F}{\sqrt{2}} V_{ud} V_{us} \frac{\beta}{(2\pi)^3} \hat{\alpha}_3^{(+)} \hat{I}_P \delta^3(\mathbf{p}_3 - \mathbf{p}'_3 - \mathbf{p}_4 - \mathbf{p}_5)$$

$$\times \left(- \langle s'_3 | I | s_3 \rangle \langle s_5 \bar{s}_4 | I | 0 \rangle + \langle s'_3 | \boldsymbol{\sigma} | s_3 \rangle \cdot \langle s_5 \bar{s}_4 | \boldsymbol{\sigma} | 0 \rangle \right),$$

直接泡利约化法
S-wave

$$u(\mathbf{p}) \stackrel{\text{NR}}{\approx} \begin{pmatrix} 1 \\ \frac{\boldsymbol{\sigma} \cdot \mathbf{p}}{2m} \end{pmatrix} \phi$$

"1 \rightarrow 3"	$\bar{u}(\mathbf{p}'_3) \Gamma u(\mathbf{p}_3)$	$\bar{u}(\mathbf{p}_5) \Gamma v(\mathbf{p}_4)$
$J_V^0 = \bar{\psi} \gamma^0 \psi$	$\phi_3^{\prime\dagger} \left[1 + \frac{\mathbf{p}'_3 \cdot \mathbf{p}_3 + i \boldsymbol{\sigma} \cdot (\mathbf{p}'_3 \times \mathbf{p}_3)}{(2m'_3)(2m_3)} \right] \phi_3$	$\phi_5^{\dagger} \left[\frac{\boldsymbol{\tau} \cdot \mathbf{p}_4}{2m_4} + \frac{\boldsymbol{\tau} \cdot \mathbf{p}_5}{2m_5} \right] \phi_4$
$\mathbf{J}_V = \bar{\psi} \boldsymbol{\gamma} \psi$	$\phi_3^{\prime\dagger} \left[\frac{\mathbf{p}_3 - i \boldsymbol{\sigma} \times \mathbf{p}_3}{2m_3} + \frac{\mathbf{p}'_3 + i \boldsymbol{\sigma} \times \mathbf{p}'_3}{2m'_3} \right] \phi_3$	$\phi_5^{\dagger} \left[\boldsymbol{\tau} + \frac{(\boldsymbol{\tau} \cdot \mathbf{p}_5) \boldsymbol{\tau} (\boldsymbol{\tau} \cdot \mathbf{p}_4)}{(2m_5)(2m_4)} \right] \phi_4$
$J_A^0 = \bar{\psi} \gamma^0 \gamma_5 \psi$	$\phi_3^{\prime\dagger} \left[\frac{\boldsymbol{\sigma} \times \mathbf{p}_3}{2m_3} + \frac{\boldsymbol{\sigma} \times \mathbf{p}'_3}{2m'_3} \right] \phi_3$	$\phi_5^{\dagger} \left[1 + \frac{\mathbf{p}_5 \cdot \mathbf{p}_4 + i \boldsymbol{\tau} \cdot (\mathbf{p}_5 \times \mathbf{p}_4)}{(2m_5)(2m_4)} \right] \phi_4$
$\mathbf{J}_A = \bar{\psi} \boldsymbol{\gamma} \gamma_5 \psi$	$\phi_3^{\prime\dagger} \left[\boldsymbol{\sigma} - \frac{(\boldsymbol{\sigma} \cdot \mathbf{p}'_3) \boldsymbol{\sigma} (\boldsymbol{\sigma} \cdot \mathbf{p}_3)}{(2m'_3)(2m_3)} \right] \phi_3$	$\phi_5^{\dagger} \left[\frac{\mathbf{p}_4 - i \boldsymbol{\tau} \times \mathbf{p}_4}{2m_4} + \frac{\mathbf{p}_5 + i \boldsymbol{\tau} \times \mathbf{p}_5}{2m_5} \right] \phi_4$

我们需要次领头阶的 D - 波算符!

对十重态超子 Ω 的两体强子弱衰变的研究

将描述费米子与W玻色子的相对论Dirac哈密顿量进行Foldy-Wouthuysen(FW)变换, 逐阶对角化哈密顿量 (消除连接大小分量的奇算符)。

$$\begin{aligned}\mathcal{H} &= \mathcal{H}_0 + \mathcal{H}_{\text{int}} \\ &= \beta m + \boldsymbol{\alpha} \cdot \mathbf{p} + g(W_0 + \boldsymbol{\Sigma} \cdot \vec{W}) - g(\boldsymbol{\alpha} \cdot \vec{W} + \gamma_5 W_0) \\ &\equiv \beta m + \mathcal{O} + \mathcal{E},\end{aligned}$$

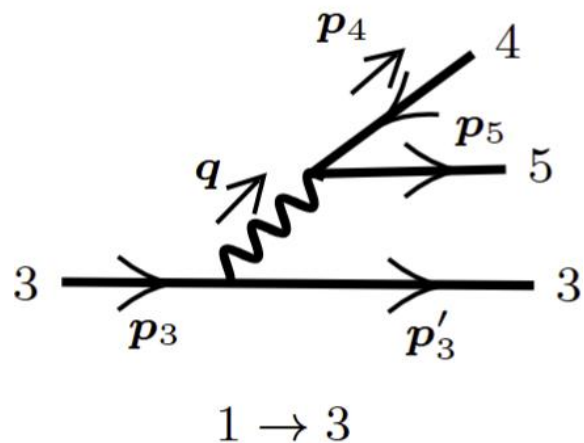
$$\begin{aligned}\mathcal{O} &= \boldsymbol{\alpha} \cdot \mathbf{p} - g(\boldsymbol{\alpha} \cdot \vec{W} + \gamma_5 W_0), \\ \mathcal{E} &= g(W_0 + \boldsymbol{\Sigma} \cdot \vec{W}),\end{aligned}$$

在 FW 变换下, 我们将 \mathcal{H} 对角化至 $1/m^2$ 阶,

$$\mathcal{H} = \beta m + \mathcal{E} + \frac{1}{2m}\beta\mathcal{O}^2 - \frac{1}{8m^2}[\mathcal{O}, [\mathcal{O}, \mathcal{E}]] - \frac{i}{8m^2}[\mathcal{O}, \dot{\mathcal{O}}].$$

科研工作二：对十重态超子 Ω 的两体强子弱衰变的研究

$$\mathcal{H} \equiv O_0 W_0 + \vec{O} \cdot \vec{W},$$



对于“1 \rightarrow 3”的发射过程，我们先考虑 $q_3(\mathbf{p}_3) \rightarrow q'_3(\mathbf{p}'_3) + W(\mathbf{q})$ 这个相互作用顶点，

$$O_0(1) = g \left\{ 1(V) - \frac{\boldsymbol{\sigma} \cdot (\mathbf{p}_3 + \mathbf{p}'_3)}{2m} (A) - \frac{(\mathbf{p}_3 - \mathbf{p}'_3)^2}{8m^2} (V) - \frac{i\boldsymbol{\sigma} \cdot (\mathbf{p}_3 \times \mathbf{p}'_3)}{4m^2} (V) - \frac{q_0 \boldsymbol{\sigma} \cdot (\mathbf{p}_3 - \mathbf{p}'_3)}{8m^2} (A) \right\},$$

$$\vec{O}(1) = g \left\{ \boldsymbol{\sigma} (A) - \frac{\mathbf{p}_3 + \mathbf{p}'_3}{2m} (V) + \frac{i\boldsymbol{\sigma} \times (\mathbf{p}_3 - \mathbf{p}'_3)}{2m} (V) + \frac{i(\mathbf{p}_3 \times \mathbf{p}'_3)}{4m^2} (A) - \frac{q_0(\mathbf{p}_3 - \mathbf{p}'_3)}{8m^2} (V) + \frac{iq_0 \boldsymbol{\sigma} \times (\mathbf{p}_3 + \mathbf{p}'_3)}{8m^2} (V) \right. \\ \left. - \frac{(\mathbf{p}_3 + \mathbf{p}'_3)^2 \boldsymbol{\sigma} - 2(\boldsymbol{\sigma} \cdot \mathbf{p}'_3)\mathbf{p}_3 - 2(\boldsymbol{\sigma} \cdot \mathbf{p}_3)\mathbf{p}'_3}{8m^2} (A) \right\},$$

- 得到 $1/m^2$ 阶的 $W \rightarrow q_5 \bar{q}_4$ 的相互作用算符。
- 预期有一个小的宇称破坏 (D -wave) 振幅, 使得 α 很小却不严格为零。